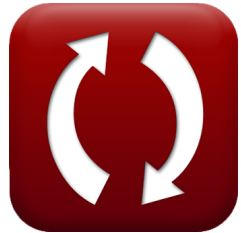


calculatoratoz.comunitsconverters.com

Perda devido ao encurtamento elástico Fórmulas

[Calculadoras!](#)[Exemplos!](#)[Conversões!](#)

marca páginas calculatoratoz.com, unitsconverters.com

Maior cobertura de calculadoras e crescente - **30.000+ calculadoras!**

Calcular com uma unidade diferente para cada variável - **Conversão de unidade embutida!**

Coleção mais ampla de medidas e unidades - **250+ medições!**

Sinta-se à vontade para **COMPARTILHAR** este documento com seus amigos!

[Por favor, deixe seu feedback aqui...](#)



Lista de 22 Perda devido ao encurtamento elástico Fórmulas

Perda devido ao encurtamento elástico ↗

Membros Pós-Tencionados ↗

1) Área da seção de concreto com queda de protensão ↗

fx $A_c = m_{Elastic} \cdot \frac{P_B}{\Delta f_p}$

[Abrir Calculadora ↗](#)

ex $12m^2 = 0.6 \cdot \frac{200kN}{10MPa}$

2) Componente de tensão no nível do primeiro tendão devido à flexão ↗

fx $\varepsilon_{c2} = \frac{\Delta L}{L}$

[Abrir Calculadora ↗](#)

ex $0.029412 = \frac{0.3m}{10.2m}$

3) Estresse no concreto devido à queda de protensão ↗

fx $f_{concrete} = \frac{\Delta f_p}{m_{Elastic}}$

[Abrir Calculadora ↗](#)

ex $16.66667MPa = \frac{10MPa}{0.6}$



4) Mudança na excentricidade do tendão A devido à forma parabólica

fx $\Delta e_A = e_{A2} - e_{A1}$

[Abrir Calculadora !\[\]\(cbe80b694ebd74fcfe136a095b608235_img.jpg\)](#)

ex $9.981\text{mm} = 20.001\text{mm} - 10.02\text{mm}$

5) Mudança na excentricidade do tendão B devido à forma parabólica

fx $\Delta e_B = e_{B2} - e_{B1}$

[Abrir Calculadora !\[\]\(3e2231b1ad3ca8da8658228c00dd08e0_img.jpg\)](#)

ex $10.07\text{mm} = 20.1\text{mm} - 10.03\text{mm}$

6) Prestress Drop

fx $\Delta f_p = E_s \cdot \Delta \varepsilon_p$

[Abrir Calculadora !\[\]\(0d5ec72f61334709c3fc9450209b754f_img.jpg\)](#)

ex $10\text{MPa} = 200000\text{MPa} \cdot 0.00005$

7) Queda de pré-esforço dada a relação modular

fx $\Delta f_p = m_{Elastic} \cdot f_{concrete}$

[Abrir Calculadora !\[\]\(b64b40baaee5acddc1eab8538ba84754_img.jpg\)](#)

ex $9.96\text{MPa} = 0.6 \cdot 16.6\text{MPa}$

8) Queda de pré-esforço dada tensão devido à flexão e compressão em dois cabos parabólicos

fx $\Delta f_p = E_s \cdot (\varepsilon_{c1} + \varepsilon_{c2})$

[Abrir Calculadora !\[\]\(aff7c69c44a5e015f18c35867ef3f5c3_img.jpg\)](#)

ex $106000\text{MPa} = 200000\text{MPa} \cdot (0.5 + 0.03)$

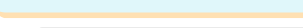


9) Queda de pré-tensão quando dois tendões parabólicos são incorporados

$$fx \Delta f_p = E_s \cdot \varepsilon_c$$

[Abrir Calculadora](#)

$$ex 9000 \text{ MPa} = 200000 \text{ MPa} \cdot 0.045$$

10) Queda de protensão dada a tensão no concreto no mesmo nível devido à força de protensão

$$fx \Delta f_p = E_s \cdot \frac{f_{\text{concrete}}}{E_{\text{concrete}}}$$

[Abrir Calculadora](#)

$$ex 33200 \text{ MPa} = 200000 \text{ MPa} \cdot \frac{16.6 \text{ MPa}}{100 \text{ MPa}}$$

11) Tensão Média para Tendões Parabólicos

$$fx f_{c,\text{avg}} = f_{c1} + \frac{2}{3} \cdot (f_{c2} - f_{c1})$$

[Abrir Calculadora](#)

$$ex 10.202 \text{ MPa} = 10.006 \text{ MPa} + \frac{2}{3} \cdot (10.3 \text{ MPa} - 10.006 \text{ MPa})$$

12) Variação da excentricidade do tendão B

$$fx E_{B(x)} = e_{B1} + \left(4 \cdot \Delta e_B \cdot \frac{x}{L} \right) \cdot \left(1 - \left(\frac{x}{L} \right) \right)$$

[Abrir Calculadora](#) **ex**

$$10.10914 \text{ mm} = 10.03 \text{ mm} + \left(4 \cdot 20.0 \text{ mm} \cdot \frac{10.1 \text{ mm}}{10.2 \text{ m}} \right) \cdot \left(1 - \left(\frac{10.1 \text{ mm}}{10.2 \text{ m}} \right) \right)$$



13) Variação da excentricidade no tendão A ↗

fx $E_{A(x)} = e_{A1} + \left(4 \cdot \Delta e_A \cdot \frac{x}{L} \right) \cdot \left(1 - \left(\frac{x}{L} \right) \right)$

[Abrir Calculadora ↗](#)
ex

$$10.05957\text{mm} = 10.02\text{mm} + \left(4 \cdot 10.0\text{mm} \cdot \frac{10.1\text{mm}}{10.2\text{m}} \right) \cdot \left(1 - \left(\frac{10.1\text{mm}}{10.2\text{m}} \right) \right)$$

Membros pré-tensionados ↗

14) Área transformada do membro de pré-tensão para queda de pressão conhecida ↗

fx $A_{\text{Pretension}} = m_{\text{Elastic}} \cdot \frac{P_i}{\Delta f_{\text{Drop}}}$

[Abrir Calculadora ↗](#)

ex $0.01305\text{mm}^2 = 0.6 \cdot \frac{435\text{kN}}{0.02\text{MPa}}$

15) Deformação inicial no aço por deformação conhecida devido ao encurtamento elástico ↗

fx $\varepsilon_{pi} = \varepsilon_c + \varepsilon_{po}$

[Abrir Calculadora ↗](#)

ex $0.05 = 0.045 + 0.005$

16) Deformação no concreto devido ao encurtamento elástico ↗

fx $\varepsilon_c = \varepsilon_{pi} - \varepsilon_{po}$

[Abrir Calculadora ↗](#)

ex $0.045 = 0.05 - 0.005$



17) Deformação residual no aço por deformação conhecida devido ao encurtamento elástico ↗

fx $\varepsilon_{po} = \varepsilon_{pi} - \varepsilon_c$

[Abrir Calculadora ↗](#)

ex $0.005 = 0.05 - 0.045$

18) Força de protensão após perda imediata dada protensão inicial ↗

fx $P_o = P_i \cdot \frac{A_{Pre\ tension}}{A_{Pretension}}$

[Abrir Calculadora ↗](#)

ex $208800\text{kN} = 435\text{kN} \cdot \frac{12\text{mm}^2}{0.025\text{mm}^2}$

19) Pré-esforço inicial dado pré-esforço após perda imediata ↗

fx $P_i = P_o \cdot \frac{A_{Pretension}}{A_{Pre\ tension}}$

[Abrir Calculadora ↗](#)

ex $200\text{kN} = 96000\text{kN} \cdot \frac{0.025\text{mm}^2}{12\text{mm}^2}$

20) Queda de pré-esforço dada a pressão após perda imediata ↗

fx $\Delta f_{Drop} = \left(\frac{P_o}{A_{Pre\ tension}} \right) \cdot m_{Elastic}$

[Abrir Calculadora ↗](#)

ex $0.0048\text{MPa} = \left(\frac{96000\text{kN}}{12\text{mm}^2} \right) \cdot 0.6$



21) Queda de protensão dada a força de protensão inicial

fx $\Delta f_{Drop} = P_i \cdot \frac{m_{Elastic}}{A_{Pretension}}$

[Abrir Calculadora !\[\]\(9dfdaff1d86ba3c1f8353b4d1b61b8c5_img.jpg\)](#)

ex $0.01044 \text{ MPa} = 435 \text{ kN} \cdot \frac{0.6}{0.025 \text{ mm}^2}$

22) Relação Modular dada Protensão após Perda Imediata

fx $m_{Elastic} = \Delta f_{Drop} \cdot \frac{A_{Pre tension}}{P_o}$

[Abrir Calculadora !\[\]\(2b376d1a92330ab09dad2665d2f89bf5_img.jpg\)](#)

ex $2.5 = 0.02 \text{ MPa} \cdot \frac{12 \text{ mm}^2}{96000 \text{ kN}}$



Variáveis Usadas

- A_c Área Ocupada de Concreto (*Metro quadrado*)
- $A_{Pre\ tension}$ Área Pré-Tensionada de Concreto (*Milímetros Quadrados*)
- $A_{Pretension}$ Área da Seção Transformada de Pré-esforço (*Milímetros Quadrados*)
- $E_{A(x)}$ Variação de excentricidade do tendão A (*Milímetro*)
- e_{A1} Excentricidade no final para A (*Milímetro*)
- e_{A2} Excentricidade em Midspan para A (*Milímetro*)
- $E_{B(x)}$ Variação de excentricidade do tendão B (*Milímetro*)
- e_{B1} Excentricidade no final para B (*Milímetro*)
- e_{B2} Excentricidade no Midspan B (*Milímetro*)
- $E_{concrete}$ Módulo de elasticidade do concreto (*Megapascal*)
- E_s Módulo de elasticidade da armadura de aço (*Megapascal*)
- $f_{c,avg}$ Estresse médio (*Megapascal*)
- f_{c1} Estresse no final (*Megapascal*)
- f_{c2} Estresse no Midspan (*Megapascal*)
- $f_{concrete}$ Tensão na Seção de Concreto (*Megapascal*)
- L Comprimento da viga em pré-esforço (*Metro*)
- $m_{Elastic}$ Relação Modular para Encurtamento Elástico
- P_B Força de pré-esforço (*Kilonewton*)
- P_i Força inicial de pré-esforço (*Kilonewton*)
- P_o Força de Protensão após Perda (*Kilonewton*)
- x Distância da extremidade esquerda (*Milímetro*)



- Δe_A Mudança na excentricidade em A (*Milímetro*)
- Δe_B Mudança na excentricidade B (*Milímetro*)
- Δf_{Drop} Queda no pré-esforço (*Megapascal*)
- Δf_p Queda de pré-esforço (*Megapascal*)
- ΔL Mudança na dimensão do comprimento (*Metro*)
- $\Delta \epsilon_p$ Mudança na tensão
- ϵ_c Deformação do concreto
- ϵ_{c1} Tensão devido à compressão
- ϵ_{c2} Tensão devido à flexão
- ϵ_{pi} Tensão Inicial
- ϵ_{po} Tensão Residual



Constantes, Funções, Medidas usadas

- **Medição:** Comprimento in Metro (m), Milímetro (mm)
Comprimento Conversão de unidades ↗
- **Medição:** Área in Metro quadrado (m²), Milímetros Quadrados (mm²)
Área Conversão de unidades ↗
- **Medição:** Pressão in Megapascal (MPa)
Pressão Conversão de unidades ↗
- **Medição:** Força in Kilonewton (kN)
Força Conversão de unidades ↗



Verifique outras listas de fórmulas

- Perda devido ao deslizamento de ancoragem, perda por atrito e propriedades geométricas gerais
[Fórmulas](#) ↗
- Perda devido ao encurtamento elástico Fórmulas ↗

Sinta-se à vontade para COMPARTILHAR este documento com seus amigos!

PDF Disponível em

[English](#) [Spanish](#) [French](#) [German](#) [Russian](#) [Italian](#) [Portuguese](#) [Polish](#) [Dutch](#)

12/14/2023 | 8:44:20 AM UTC

[Por favor, deixe seu feedback aqui...](#)

